

УДК 539.21

©1995

**ПРОЯВЛЕНИЕ ВАКАНСИЙ В СПЕКТРАХ  
МАЛЫХ ЧАСТОТ И РАСЧЕТ ЭНЕРГИИ МИГРАЦИИ  
В ПАРАДИБРОМБЕНЗОЛЕ И ПАРАДИХЛОРБЕНЗОЛЕ  
ПРИ РАЗНЫХ ТЕМПЕРАТУРАХ**

*B.Ф.Шабанов, M.A.Коршунов*

Институт физики им. Л.В.Киренского Сибирского отделения

Российской академии наук,

660036, Красноярск, Россия

(Поступила в Редакцию 15 декабря 1994 г.

В окончательной редакции 15 мая 1995 г.)

С использованием метода Дина проведен расчет спектров решеточных колебаний парадибромбензола с учетом в структуре вакансий. В согласии с экспериментальными спектрами комбинационного рассеяния света малых частот показано, что наличие вакансий сказывается на появлении дополнительных линий, в частности в области  $70\text{ cm}^{-1}$ . С помощью метода атом-атом потенциалов проведен расчет энергии активации диффузии в кристаллах парадибромбензола и парадихлорбензола для ряда температур. Для изученных кристаллов величина энергии активации зависит от кристаллографического направления. При этом с повышением температуры для обоих веществ энергия активации понижается.

Одно из главных преимуществ оптических методов в компьютерной технологии связано с возможностью параллельной обработки информации со значительным числом плотно упакованных каналов. Увеличение плотности записи информации связано с тем, насколько близко можно пропустить два световых пучка через один и тот же образец, наблюдая при этом независимые отклики. В ряде работ Гиббса [1] отмечается, что диффузия может приводить к необходимости более значительного разделения световых пучков. При диффузии в образце молекула с измененными параметрами может мигрировать и искажать записанную информацию. Особенно влияние диффузии становится заметным при изменении температуры. Представляется важным найти условия, при которых влияние диффузии будет уменьшено до минимума. До настоящего времени процессы диффузии в основном изучались в ионных, металлических и органических кристаллах высокой симметрии, хотя перспективными материалами в молекулярной электронике становятся органические кристаллы низкой симметрии [2]. Трудности, возникающие при изучении диффузии в низкосимметричных органических кристаллах, связаны, в частности, с несферичностью молекул, наличием ориентационных колебаний, дефектов и т.д. Чтобы установить при каких условиях диффузия уменьшится, необходимо провести изучение процесса диффузии в низкосимметричных молекулярных кристаллах.

Наличие диффузии может быть обусловлено присутствием вакансий [3]. Наличие вакансий в веществе, по-видимому, сказывается на решеточных колебаниях и проявляется в спектрах комбинационного рассеяния света малых частот. Спектральное проявление наличия вакансий в молекулярных кристаллах может быть найдено сравнением экспериментальных спектров решеточных колебаний со спектрами, полученными из расчетов на ЭВМ как при учете в структуре вакансий, так и без них. При расчетах спектров решеточных колебаний необходимо знать коэффициенты в потенциале взаимодействия и рентгеноструктурные данные при разных температурах.

Поэтому кажется разумным изучать как спектральное проявление наличия вакансий, так и диффузию в молекулярных кристаллах, которые хорошо изучены различными методами.

В качестве объектов исследования были выбраны кристаллы парадихлорбензола ( $\alpha$ -модификация) и изоморфного ему парадибромбензола, кристаллизующиеся в пространственной группе  $P\bar{2}_1/a$  с двумя молекулами в элементарной ячейке ( $Z = 2$ ), которые хорошо изучены оптическими [4], рентгенографическими [5] и ЯКР-методами [6]; были проведены расчеты колебательных частот парадихлорбензола [7] и парадибромбензола [4].

Парадихлорбензол в кристаллическом состоянии имеет три модификации [8]. При температуре 300 К реализуется  $\beta$ -модификация с одной молекулой в элементарной ячейке ( $Z = 1$ ) и пространственной группой  $P1$ . Ниже  $\sim 100$  К находится  $\gamma$ -фаза с пространственной группой  $P\bar{2}_1/c$  и двумя молекулами в ячейке ( $Z = 2$ ). Между  $\beta$ - и  $\gamma$ -фазами находится  $\alpha$ -фаза. В [8] также представлены рентгеноструктурные данные по изменениям параметров решетки парадихлорбензола при изменении температуры от 100 до 300 К.

В настоящей работе представлены результаты расчетов по методу атом-атом потенциалов [9] энергии решетки, образования вакансий и миграции молекул парадибромбензола и парадихлорбензола для ряда температур. Энергия миграции вычислялась для кристаллографических направлений [010] и [001]. Приведены результаты расчетов спектров малых частот парадибромбензола при наличии вакансий и без них. При расчетах структура молекул принималась абсолютно жесткой. Взаимодействие между молекулами описывалось по методу атом-атом потенциалов. Расчеты проводились с использованием метода Дина [10].

Идея вычислительной процедуры по этому методу следующая. Задаваясь расположением атомов в молекуле и учитывая поля межмолекулярных сил, получаем элементы динамической матрицы. Силовые постоянные находятся путем прямого дифференцирования потенциальной энергии, записанной в виде парных атом-атомных взаимодействий [9]. Порядок матрицы равен ушестеренному числу молекул, принятых в рассмотрение. К матрице такого порядка не могут быть применены стандартные методы нахождения собственных значений. Поэтому был применен алгоритм Дина [10]. Он позволяет находить собственные значения для матриц высокого порядка. На основании расчетов были получены гистограммы, которые показывают вероятность проявления линий спектра в выбранном частотном интервале. Идентификация пи-

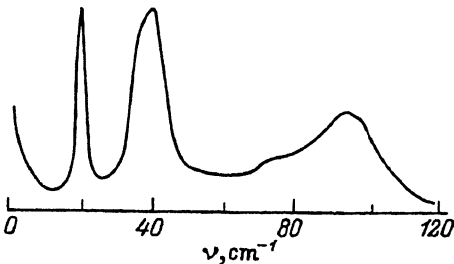


Рис. 1. Экспериментальный спектр комбинационного рассеяния света малых частот парадибромбензола.

ков в разных частях гистограммы была получена путем сопоставления пиков на гистограмме с вычисленными спектрами для различных конкретных кластеров, которые представляют собой энергетически устойчивые структуры с небольшим числом молекул. Более подробно метод Дина для расчета спектров малых частот описан в [11].

На рис. 1 приведен экспериментальный спектр комбинационного рассеяния света малых частот парадибромбензола. По оси ординат отложена относительная интенсивность. Можно отметить, что в спектре парадибромбензола наблюдаются шесть интенсивных линий, но также отмечается и появление линии малой интенсивности в области  $70\text{ cm}^{-1}$ . Эта линия находится на крыле широкой линии  $93\text{ cm}^{-1}$ , что затрудняет ее выявление. Значения экспериментальных частот и типы колебаний приведены в табл. 1.

На основании рентгеноструктурных данных [5] проведены расчеты частот решеточных колебаний «идеального» кристалла парадибромбензола (табл. 1). Найдено шесть значений частот, обусловленных вращательными качаниями молекул и тремя трансляционными колебаниями. Трансляционные колебания активны в ИК-поглощении. Экспериментальные значения подобных частот для парадихлорбензола приведены в [12] и имеют следующие значения:  $38, 56$  и  $26\text{ cm}^{-1}$ . Для парадибромбензола значения расчетных частот составляют  $24.45, 39.30$  и  $55.50\text{ cm}^{-1}$  для  $B_u, A_u$  и  $A_u$  соответственно. Как видно, линия в области  $70\text{ cm}^{-1}$  не относится к трансляционным колебаниям.

Для объяснения появления дополнительных линий в спектре решеточных колебаний парадибромбензола предположили, что в структуре кристалла возможно наличие вакансий или ориентационной неупорядоченности.

Таблица 1

Значения частот и типы колебаний

Частота, $\text{cm}^{-3}$		Тип колебания
Эксперимент	Расчет	
20.0	20.2	$B_g$
37.4	34.3	$A_g$
38.5	40.4	$A_g$
39.4	41.6	$B_g$
93.0	91.3	$A_g$
97.0	97.7	$B_g$

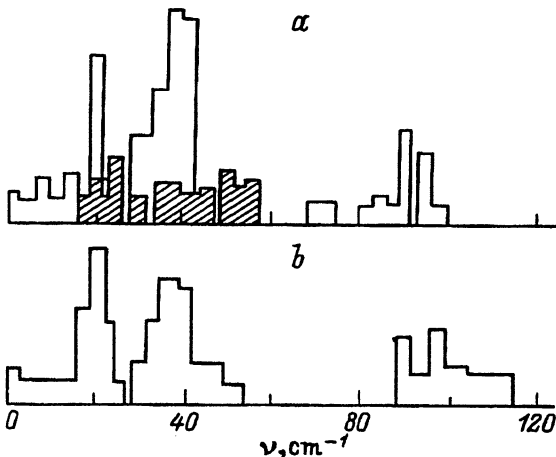


Рис. 2. Гистограммы спектра парадибромбензола, полученные по методу Дина с учетом вакансий (а) и при условии ориентационной неупорядоченности молекул в решетке кристалла (б).

Ориентационная неупорядоченность предполагает, что от ячейки к ячейке молекулы несколько иначе ориентированы, что может быть обусловлено наличием дефектов. Число дефектов в кристалле можно оценить, сравнивая измеренную плотность кристалла с рассчитанной по рентгеноструктурным данным. Для рассматриваемых кристаллов число дефектов не превышает  $\sim 3\%$ .

Насколько нам известно расчет решеточных колебаний парадибромбензола с учетом вакансий не рассматривался.

На рис. 2, а представлена гистограмма спектра парадибромбензола, полученная по методу Дина с учетом вакансий. При расчетах задавалось расположение вакансий в решетке и находилась равновесная конфигурация для каждого случая. На этом рисунке штриховкой отмечены области, связанные с появлением частот трансляционного типа. Появление линий спектра в области  $10 \text{ cm}^{-1}$  и области  $70 \text{ cm}^{-1}$  обусловлено наличием в структуре вакансий. При расчете собственных векторов установлено, что линия с частотой  $70 \text{ cm}^{-1}$  обусловлена вращательными качаниями в основном вокруг оси с наименьшим моментом инерции, а линия в области  $10 \text{ cm}^{-1}$  — с наибольшим.

На рис. 2, б показана гистограмма парадибромбензола, полученная при условии ориентационной неупорядоченности молекул в решетке кристалла. Как видно, ориентационный беспорядок не оказывается на появлении линии в области  $70 \text{ cm}^{-1}$ .

Используя найденные коэффициенты в потенциале взаимодействия, мы провели расчет энергии решетки, образования вакансий и миграции молекул изучаемых кристаллов для ряда температур.

Параметры решеток парадибромбензола для определенных температур находились по согласию рассчитанного спектра при заданных параметрах решетки с экспериментальными спектрами при исследуемой температуре. Использование этого метода для расчета параметров решетки парадихлорбензола показало его применимость.

В табл. 2 приведены расчетные значения энергии решетки  $E_L$  для парадибромбензола и парадихлорбензола при ряде температур. При этом предполагалось, что структура решетки не содержит дефектов. Для обоих веществ поведение значений энергии решетки одинаково: она при повышении температуры уменьшается.

Таблица 2

Значения энергий (в kcal/mol) при различных температурах

Энергия	Парадибромбензол			Парадихлорбензол		
	313 К	293 К	100 К	300 К	273 К	100 К
$E_L$	17.72	17.91	18.27	15.50	15.61	16.10
$E_R$	0.71	0.72	0.81	0.52	0.54	0.62
$E_f$	17.01	17.19	17.46	14.98	15.07	15.48
$E_m^{[001]}$	5.2	7.7	9.5	1.01	1.82	2.8
$E_d^{[001]}$	22.21	24.89	26.76	15.99	16.89	18.28
$E_m^{[010]}$	3.3	3.6	4.7	2.4	3.1	3.8
$E_d^{[010]}$	20.31	20.79	22.17	17.38	18.17	19.28
$R_m^{[001]}, \text{ \AA}$	1.3	0.7	0.4	0.7	0.27	0.1
$R_m^{[010]}, \text{ \AA}$	0.8	0.7	0.5	1.9	1.6	1.3

Расположение молекул в решетке кристалла с вакансиями находилось по минимуму свободной энергии. Минимизация проводилась по ориентациям и смещениям центров тяжести молекул, принятых в рассмотрение. Найдено, что отклонение по углам составляет не более 2–3°, а смещения центров масс — около 0.005 Å. При этом с понижением температуры до 100 К отклонение по углам составляет 0.5–1°, а смещения центров масс были не более 0.003 Å.

При релаксации молекул энергия парафибромбензола, как и парадихлорбензола, изменилась на величину  $E_R$ , значения которой для ряда температур приведены в табл. 2. Как видно, при повышении температуры  $E_R$  уменьшается.

Энергия образования вакансий  $E_f$  (табл. 2) составляет величину, рассчитываемую по формуле [13]

$$E_f = E_L - E_R.$$

При рассмотрении миграции молекул молекула из положения (0,0,0) шаг за шагом сдвигалась вдоль выбранного направления в сторону вакансии. При каждом шаге проводилась минимизация энергии.

На рис. 3 представлены графики изменения потенциальной энергии при смещении молекулы парафибромбензола вдоль кристаллографического направления [001] (рис. 3, a) и [010] (рис. 3, b) при температурах 100, 293 и 313 К. Приведенные графики соответствуют половине периода решетки.

В табл. 2 приведены значения энергии миграции  $E_m$  для кристаллографических направлений [001] и [010], обозначенные в таблице  $E_m^{[001]}$  и  $E_m^{[010]}$  соответственно.

Энергия активации для выбранного направления диффузии составляет [13]

$$E_d = E_f + E_m.$$

Результаты расчетов приведены в табл. 2.

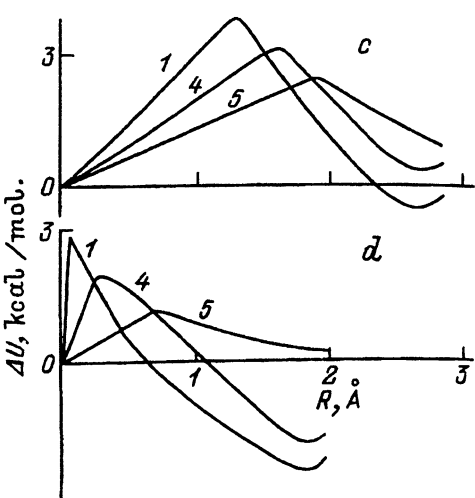
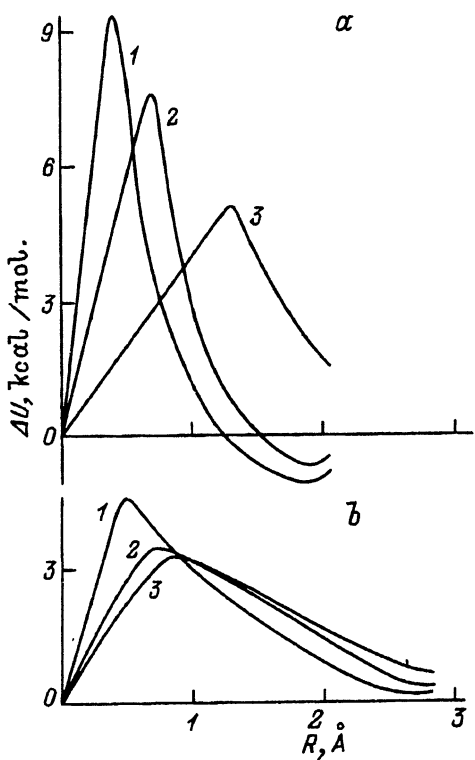


Рис. 3. Графики изменения потенциальной энергии при смещении молекул пара-дигромбензола (a,b) и пара-дихлорбензола (c,d) вдоль кристаллографического направления [001] (a,d) и направления [010] (b,c). Значения температуры (К): 1 — 100, 2 — 293, 3 — 313, 4 — 273, 5 — 300.

Как видно из расчетов, при понижении температуры энергия активации увеличивается, что, по-видимому, сказывается на уменьшении скорости диффузии. При этом энергия активации при данной температуре в пара-дигромбензоле для направления [001] больше, чем для кристаллографического направления [010].

На рис. 3,с представлены графики изменения потенциальной энергии для пара-дихлорбензола при смещении молекулы в сторону вакансии вдоль кристаллографического направления [010], а на рис. 3,д — вдоль направления [001]. На этих рисунках показаны графики, относящиеся к половине периода решетки в выбранных направлениях. Как видно из графиков, для данной температуры энергия активации (табл. 2) в направлении [010] больше, чем в направлении [001], т.е. реализуется ситуация, обратная ситуации в пара-дигромбензоле в аналогичных направлениях.

В то же время общий характер изменения графиков с температурой для обоих веществ подобен. Энергия активации с повышением температуры понижается, а положение максимума на графиках ( $R_m$  в табл. 2) сдвигается в сторону середины периода решетки.

На вышеприведенных графиках рассматриваемых веществ для ряда температур после первого максимума наблюдается понижение графика до минимума. После минимума наблюдается некоторое возрастание, при этом для пара-дихлорбензола энергия изменилась на 0.3 kcal/mol, а для пара-дигромбензола — на 0.4 kcal/mol в области комнатной температуры.

Отмечается более резкое изменение ориентации мигрирующей молекулы после прохождения максимума абсцисса которого обозначена в табл. 2: как  $R_m^{[010]}$  и  $R_m^{[001]}$  при смещении молекулы вдоль кристаллографического направления [010] и [001] соответственно. Угол между несмещенной и смещенной по оси  $Z$  на 1.99 Å плоскостями молекул парадихлорбензола составляет около 61°. При этом молекула смещается по оси  $Y$  на -0.8 Å. Аналогичные изменения наблюдаются в пара-дибромбензole.

Величина энергии активации в камfenе составляет 23.4 kcal/mol, в нафталине она составляет для направления [010] величину, равную 22.21 kcal/mol, и для направления [001] — 24.64 kcal/mol [13]. Как видно, рассчитанные величины энергии активации для парадихлорбензола и пара-дибромбензола, приведенные в табл. 2, согласуются с данными, приведенными выше.

Таким образом, можно отметить, что наличие вакансий в структуре пара-дибромбензола отражается на спектрах комбинационного рассеяния света малых частот. При этом отмечается появление линии в области 70 cm<sup>-1</sup>. Энергия активации для кристаллографических направлений [001] и [010] различна для обоих рассматриваемых веществ. В то же время при повышении температуры энергия активации для парадихлорбензола и пара-дибромбензола понижается для обоих направлений миграции молекул.

### Список литературы

- [1] Гиббс Х. Оптическая бистабильность. Управление светом с помощью света. М. (1988). Т. 2. 518 с.
- [2] Новые физические принципы оптической обработки информации / Под ред. С.А.Ахманова, М.А.Воронцова. М. (1990). С. 399.
- [3] Орлов А.Н. Введение в теорию дефектов в кристаллах. М. (1983). 144 с.
- [4] Спиридонов В.П. Канд. дис. Красноярск (1977). 126 с.
- [5] Китайгородский А.И. Рентгеноструктурный анализ. М. (1950). 650 с.
- [6] Гречишkin B.C. Ядерные квадрупольные взаимодействия в твердых телах. М. (1973). 263 с.
- [7] Gribov L.A., Davidova I.E., Bayard F., Decoret C., Royer J. Spectrohim. Acta A. Mol. Spectr. (UK) **49A**, 3, 425 (1993).
- [8] Wheeler G.L., Colson S.D. J. Chem. Phys. **65**, 4, 1227 (1976).
- [9] Китайгородский А.И. Молекулярные кристаллы. М. (1971). 424 с.
- [10] Дин П. В кн: Вычислительные методы в теории твердого тела / Пер. с англ. М. (1975). С. 207–298.
- [11] Коршунов М.А. Опт. и спектр. **48**, 3, 531 (1980).
- [12] Wincke M.B., Hadni A., Gerbaux X. J. de Physique **31**, 893 (1970).
- [13] Dautant A., Bonpunt L. Mol. Cryst. Liq. Crist. **137**, 221 (1986).